

УДК 639.223

ОЦЕНКА НЕКОТОРЫХ ПОПУЛЯЦИОННЫХ ПАРАМЕТРОВ И ВЕЛИЧИНЫ ВОЗМОЖНОГО ВЫЛОВА ТРЕСКИ ЮЖНОЙ ЧАСТИ БАРЕНЦЕВА МОРЯ

В. К. Бабаян

Ареал распространения трески, важного объекта мирового рыболовства, охватывает обширные районы севера Атлантического и Тихого океанов, однако ее основные запасы сосредоточены в Северной Атлантике. Атлантическая треска образует до двадцати отдельных популяций [8, 10, 13]. Наиболее крупная из них — лофотенско-баренцевоморское стадо, которое состоит из промысловых скоплений, обитающих в южной части Баренцева моря (подрайон I — ICES), медвежинско-шницибергенском шельфе (зона II_в — ICES) и вдоль побережья Норвегии (зона II_а — ICES). Различия в морфометрических показателях и возрастной структуре, удаленность скоплений друг от друга, а также особенности их эксплуатации позволяют изолированно рассматривать эти группировки, несмотря на то что в конечном счете речь идет о генетически однородной популяции *Gadus morhua morhua* (L.) [1, 9]. Такой подход удобен при анализе состояния и перспектив советского промысла трески в Северо-Восточной Атлантике, который базируется в основном на запасах трески южной (I) и северо-западной (II_в) частей Баренцева моря.

Цель настоящей работы — оценка запасов и возможного вылова трески в подрайоне I, который обеспечивает советскому рыболовному флоту более 40% улова трески, причем по ее добыче Советский Союз занимает ведущее место в группе стран, промышляющих в этом подрайоне (рис. 1). Благодаря исключительно важному промысловому значению стада баренцевоморской трески, с одной стороны, и чрезмерно интенсивной эксплуатации, поставившей стадо на грань перелова (17), с другой, количественная оценка состояния ее запасов представляет первостепенный интерес. Этой проблеме посвящено большое количество исследований (3, 8, 11, 13 и др.).

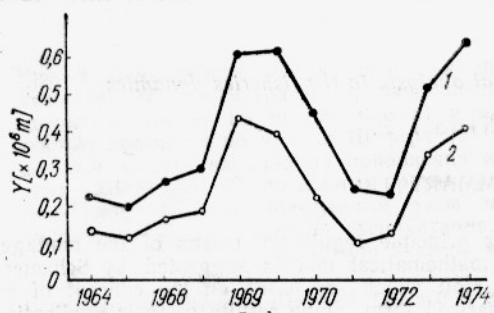


Рис. 1. Динамика уловов трески (в млн. т) в подрайоне I (ICES) с 1964 по 1974 г.: 1 — общий вылов; 2 — уловы СССР

Данная работа выполнена на основе модели Бивертона и Холта [2] с использованием оригинальных данных по размерно-возрастному составу стада баренцевоморской трески, любезно предоставленных лабораторией донных рыб Северо-Восточной Атлантики ПИНРО; сведений

по возрастному составу уловов [7], а также промысловой статистики [5, 15].

Величина возможного улова установлена в соответствии с уравнением связи между годовым уловом и биопромысловыми параметрами, характеризующими состояние эксплуатируемого запаса и промысла:

$$Y_w = FR W_\infty \sum_{n=0}^{n=3} \Omega_n e^{-nK(t_p' - t_0)} \cdot \frac{1 - e^{-(F+M+n)K\lambda}}{F + M + nK}, \quad (1)$$

где Y_w — возможный годовой улов в весовом выражении;

R — численность пополнения промыслового стада;

F, M — коэффициенты соответственно мгновенной промысловой и естественной смертности;

W_∞ — предельная теоретическая масса особи;

K — коэффициент катаболизма;

t_0' — гипотетический возраст, при котором длина особи равна 0;

t_p' — возраст вступления особи в промысел;

λ — продолжительность промыслового периода, определяемая разностью между предельным встречаемым в уловах возрастом t_λ и t_p' ;

n — целочисленный множитель, равный 0, 1, 2, 3;

Ω — биноминальный коэффициент, $\Omega_0 = 1$, $\Omega_1 = -3$, $\Omega_2 = 3$,

$\Omega_3 = -1$.

Средняя величина промыслового запаса P_w оценивалась по формуле:

$$P_w = \frac{Y_w}{F}. \quad (2)$$

Оценка k, t_0, α_∞ . Параметры линейного роста уравнения Берталанфи вычислены с помощью стандартной программы 2Д13 на ЭВМ «Минск-32». Исходным материалом явился усредненный за 18 лет (1957—1974 гг.) размерно-возрастной ряд трески южной части Баренцева моря (табл. 1).

Таблица 1
О средненныи значения W_t и t_t для трески подрайона 1

| Пара- метры | t, годы | | | | | | | | | | | | |
|----------------|---------|------|------|------|------|------|------|------|------|------|-------|-------|-------|
| | 2 | 3 | 4 | 5 | 6 | 7 | 8 | 9 | 10 | 11 | 12 | 13 | 14 |
| W, g | 302 | 559 | 890 | 1339 | 2027 | 2968 | 4204 | 5574 | 6890 | 8354 | 8938 | 12782 | 13268 |
| $t, см$ | 31,5 | 39,2 | 46,1 | 53,3 | 61,7 | 70,1 | 78,4 | 86,0 | 91,7 | 97,3 | 101,7 | 107,9 | 106,6 |

Расчеты для рядов различной протяженности дали результаты, приведенные в табл. 2.

Для дальнейших вычислений выбраны значения параметров уравнения роста, соответствующие наиболее представительному возрастному диапазону ($t=2-14$).

Во-первых, эти значения занимают промежуточное положение между крайними значениями аналогичных параметров, известных из литературы, (табл. 3) [3, 16].

Во-вторых, если исходить из того, что полученные параметры (исключая, разумеется, t_0 , который, по мнению, например, Хоендорфа [14], не более чем вспомогательная величина при расчетах) должны возможно полнее отвечать реальному положению вещей, — принятые оценки наиболее близки к действительности.

Подтверждением этому служит тот факт, что самая крупная из известных в настоящее время треска была длиной 169 см, массой 40 кг [4].

Таблица 2

Значение параметров роста уравнения Берталанфи в зависимости от длины размерно-возрастного ряда

| Возрастной диапазон | K | t_0 , годы | L_∞ , см |
|---------------------|--------|--------------|-----------------|
| 2—11 | 0,0187 | — | 1,6342 470 |
| 2—12 | 0,0358 | — | 1,2895 273 |
| 2—13 | 0,0410 | — | 1,1875 246 |
| 2—14 | 0,0633 | — | 0,776 182 |

Таблица 3

Значения параметров роста уравнения Берталанфи

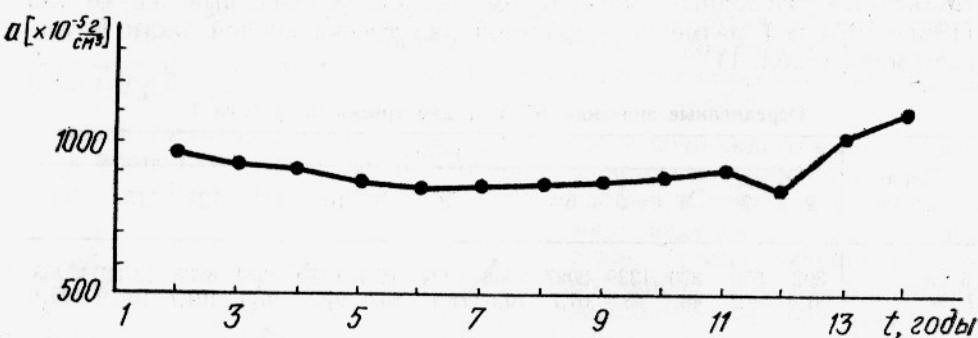
| K | t_0 , годы | L_∞ , см |
|---|--------------|-----------------|
| <i>По данным Пономаренко и Третьяка [3]</i> | | |
| 0,0146 | —1,021 | 222 |
| <i>По данным Лефранка [16]</i> | | |
| 0,0886 | +0,273 | 167 |

Можно рассматривать морфометрические характеристики этого экземпляра в качестве предельных и считать их эталоном при отбраковке расчетных значений аналогичных параметров.

Оценка W_∞ . В модели Бивертона—Холта использовано предположение об изометричности роста рыбы, причем связь длины с массой тела выражается простой кубической зависимостью $W = al^3$, где a — коэффициент формы (упитанности).

Для проверки справедливости этого допущения применительно к треске рассматриваемого района был проанализирован ряд усредненных значений длина—масса—возраст (см. табл. 1) для 11-ти возрастных групп.

Методом наименьших квадратов получено: $W_1 = 0,00843 \cdot l^{3,019}$. С другой стороны, предварительно задавшись показателем степени при l , равным 3, и вычислив значения $a = \frac{w}{l^3}$ для рассматриваемых возрастных групп (рис. 2), находим $\bar{a} = 0,00917$ и $W_2 = \bar{a} l^3 = 0,00917 \cdot l^3$. Расхож-

Рис. 2. Зависимость коэффициента формы (a) от возраста (t)

дение полученных результатов сравнительно невелико, поэтому можно принять гипотезу об изометричном росте трески данного района. Для $l = \alpha_\infty = 182$ см имеем $W_\infty = 55,3$ кг.

Оценка F , M и Z . Коэффициенты мгновенной промысловой F и естественной смертности M определялись методом Бивертона—Холта. Исходными данными послужил возрастной состав уловов трески за 1964—1974 гг. и годовые уловы за тот же период времени. Для каждого года из рассматриваемого интервала возрастной состав пересчитан относительно уловов на 100 ч траления (в штучном выражении) (табл. 4).

Таблица 4

Возрастной состав уловов трески (в шт.) на 100 ч траения

| Возраст | Год промысла | | | | | | | | | | |
|----------|--------------|-------|-------|-------|-------|-------|-------|-------|-------|-------|-------|
| | 1964 | 1965 | 1966 | 1967 | 1968 | 1969 | 1970 | 1971 | 1972 | 1973 | 1974 |
| 2 | — | — | — | — | — | — | 18 | 664 | 1301 | 299 | 89 |
| 3 | 2183 | 3343 | 8246 | 14553 | 72 | 407 | 449 | 1942 | 5668 | 37839 | 1778 |
| 4 | 11834 | 6193 | 7270 | 27557 | 25721 | 2951 | 665 | 3442 | 13381 | 18022 | 57245 |
| 5 | 17043 | 13865 | 3499 | 9075 | 26366 | 23452 | 1563 | 3196 | 6629 | 12189 | 23556 |
| 6 | 5132 | 8551 | 3608 | 1826 | 13255 | 14499 | 5695 | 1524 | 1611 | 4935 | 5333 |
| 7 | 1340 | 2287 | 2980 | 1051 | 3869 | 6868 | 6324 | 4696 | 496 | 1047 | 622 |
| 8 | 421 | 704 | 705 | 885 | 1003 | 2086 | 2515 | 6614 | 836 | 224 | 89 |
| 9 | 115 | 176 | 163 | 277 | 430 | 356 | 611 | 2016 | 805 | 150 | 89 |
| 10 | 77 | 35 | 27 | 55 | 287 | 102 | 108 | 418 | 217 | 75 | 89 |
| 11 | 77 | 35 | — | — | — | 51 | 18 | 49 | 31 | — | — |
| Σ | 38298 | 35190 | 27126 | 55335 | 71646 | 50873 | 17966 | 24586 | 30975 | 74780 | 88889 |

Коэффициент мгновенной общей смертности Z оценен в предположении, что возрастной состав уловов точно отражает возрастной состав промысловой части популяции в целом. Тогда справедлива формула

$$Z_{ij} = \ln \frac{N_{ij}}{N_{i+1, j+1}},$$

где N — численность возрастной группы в улове;

i — индекс возраста поколения;

j — индекс года промысла.

Z оценивали для восьми возрастных групп (с 3 по 10 включительно), которые составляют свыше 99% численности среднегодовой добычи трески.

Осредненный коэффициент общей смертности, $\bar{Z}=0,98$, найден на основании оценок коэффициента для семи годовых классов, причем учитывались только положительные значения коэффициентов. Поведение \bar{Z}_t отражено на рис. 3.

Коэффициенты естественной и промысловой смертности разделены согласно известной зависимости

$$Z = M + qf,$$

где q — коэффициент уловистости

f — промысловое усилие;

$$qf = F.$$

Величины годовых рыболовных усилий получены путем стандартизации затраченных усилий по методу Галланда [12]. В качестве стандартных выбраны промысловые характеристики судов типа РТ, на долю которых в последние годы присходилась примерно половина советских и свыше трети об-

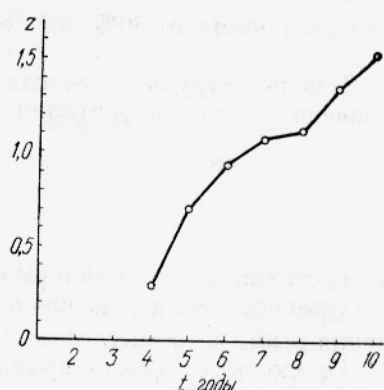


Рис. 3. Зависимость коэффициента общей смертности (Z) от возраста (t)

щих уловов трески в южной части Баренцева моря. Исходные данные, промежуточные и конечные результаты стандартизации рыболовного усилия сведены в табл. 5.

Таблица 5

Результаты стандартизации рыболовного усилия в подрайоне 1

| Величина | Год промысла | | | | | | | | | | |
|---|--------------|------|------|------|------|------|------|------|------|------|------|
| | 1964 | 1965 | 1966 | 1967 | 1968 | 1969 | 1970 | 1971 | 1972 | 1973 | 1974 |
| Улов трески, тыс. т | 230 | 203 | 265 | 297 | 593 | 614 | 446 | 236 | 222 | 510 | 624 |
| Улов/усилие (РТ), т/ч | 0,36 | 0,41 | 0,31 | 0,59 | 0,94 | 0,88 | 0,43 | 0,62 | 0,34 | 0,53 | 0,80 |
| Стандартизи- рованное усилие, тыс. ч | 641 | 495 | 854 | 504 | 636 | 697 | 1037 | 381 | 654 | 961 | 779 |

Коэффициенты M и q , найденные методом наименьших квадратов, равны: $M = 0,21$; $q = 0,112 \cdot 10^{-5}$. Тогда $F = Z - M = 0,77$.

Исследования закономерности распределения относительного количества удерживаемых тралом рыб p от их длины l показали [6], что предпочтительнее аппроксимировать зависимость $p(l)$ логистическими уравнением вида

$$p = \frac{1}{1 + e^{-(al+b)}} ,$$

где a и b — эмпирические константы.

Если a , b и p известны, формулу можно использовать для нахождения l как функции p . Несложное преобразование приводит к выражению

$$l = \frac{b - \ln\left(\frac{1}{p} - 1\right)}{a} .$$

При $p = 0,5$ $l_{0,5} = \frac{b}{a}$. Для трески Баренцева моря $a = 0,266$, $b = 9,23$ [6]. Следовательно, длина рыбы, по отношению к которой орудие лова обладает 50%-ной селективностью, $l_{0,5} = \frac{9,23}{0,266} = 40,84$ см.

Теперь нетрудно вычислить соответствующий этой длине возраст, приведя уравнение Берталанфи к виду

$$t = \frac{Kt_0 - \ln \frac{L_\infty - l_t}{L_\infty}}{K} .$$

и подставив в него найденные ранее значения параметров роста и $l_{0,5}$. Полученное таким образом $t_{0,5} = 3,24$ года принимаем за возраст вступления рыбы в промысловую стадию t_p .

Продолжительность промыслового периода жизни рыб λ оценивается по формуле

$$\lambda = t_\lambda - t'_p ,$$

где t_λ — предельный встречаемый в уловах возраст. Поскольку в практике треску старше 13—14 лет вылавливают редко, положим $\lambda \approx 10$ (лет).

Оценка R . При интенсивном и сравнительно устойчивом промысле, т. е. в условиях, при которых рассматривается промысел в данной работе, убыль промыслового запаса ΔN и его пополнение R должны находиться в состоянии динамического равновесия, или, переходя к средним значениям, $R = \Delta N$. Общую убыль можно представить как сумму естественной и промысловой убыли

$$\Delta N = \varphi_m N_0 + \varphi_F N_0,$$

где N_0 — численность промыслового запаса в начале года; φ_F и φ_m — коэффициенты соответственно промысловой и естественной убыли.

Поскольку промысловая убыль запаса не что иное как улов, величину которого легко определить делением среднегодового улова на среднюю массу рыбы в уловах, удобно выразить через него численность промыслового запаса $N_0 = Y_N / \varphi_F$, тогда

$$R = Y_N \left(1 + \frac{\varphi_m}{\varphi_F} \right).$$

Переходя к коэффициентам мгновенной смертности с помощью выражений

$$\varphi_m = \frac{M}{F+M} (1 - e^{-(F \times M)}) \text{ и } \varphi_F = \frac{F}{F+M} (1 - e^{-(F+M)}),$$

окончательно получим:

$$R = Y_N \frac{Z}{F}.$$

Подставив в полученную формулу числовые значения параметров, находим, что $R = 423 \cdot 10^6$ шт.

Анализ показал удовлетворительное согласование исследуемой модели с объектом исследования. Так, расхождение между расчетным и фактическим среднегодовым (с 1964 по 1974 г. включительно) уловом составляет около 3%.

Следовательно, в рамках сделанных допущений модель может быть применена для оценки величины запаса и возможного вылова.

Средняя биомасса промысловой части запаса рассчитана по формуле (2). $P_w = 0,51$ млн. т.

Оценка максимального устойчивого улова выполнена в предположении, что этот улов соответствует тому же значению промысловой смертности, которое максимизирует вылов на единицу пополнения. По положению точки максимума на графике «улов — пополнение» (рис. 4) находим $F_{max} = 0,2$, откуда согласно (1) $Y_{wmax} = 0,53$ млн. т. При условии, что величина коэффициента уловистости q постоянна во всем диапазоне допустимых значений F , промысловое усилие f_{max} , отвечающее максимальному возможному улову, определяется по формуле $f_{max} = q \cdot F_{max}$. Для полученных выше значений параметров q и F_{max} $f_{max} = 175 \cdot 10^3$ т.

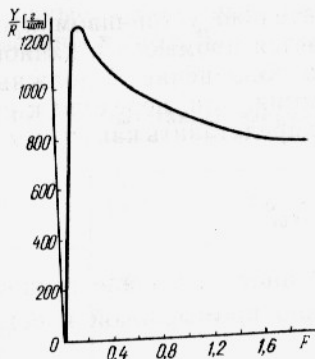


Рис. 4. Зависимость улова на единицу пополнения $\left(\frac{Y_v}{R}\right)$ (в г) от величины промысловой смертности (F)

ВЫВОДЫ

- Наиболее важен для советского промысла трески подрайон I (ICES), дающий около 40% общего улова трески СССР.
- Особенности обитания и промысла аркто-норвежской трески позволяют дифференцированно оценивать состояние образуемых ею отдельных скоплений.
- Баренцевоморская треска ($M \approx 0,2$; $K \approx 0,06$) относится к видам, для которых график зависимости возможного улова на единицу пополнения от величины промысловой смертности имеет резко выраженный экстремум, что упрощает нахождение максимально возможного вылова.
- Максимум устойчивого вылова ($Y_{\max} = 0,53$ млн. т) достичим при условии почти четырехкратного снижения интенсивности лова по сравнению с существующей.

СПИСОК ИСПОЛЬЗОВАННОЙ ЛИТЕРАТУРЫ

- Бенко Ю., Пономаренко В. Основные промысловые рыбы Баренцева, Норвежского и Гренландского морей. Мурманск, 1972, 143 с.
- Бивертон Р., Холт С. Динамика численности промысловых рыб. Изд-во «Пищевая промышленность», 1969, 248 с.
- Пономаренко В. П., Третьяк В. Л. Оценки промыслового режима эксплуатации трески в южной части Баренцева моря. Труды ПИНРО, 1973, вып. XXXIII, Мурманск, с. 326—346.
- Световидов А. Н. Трескообразные в нов. сер. № 34, «Фауна СССР». Рыбы, т. IX, вып. 4. Изд-во АН СССР, М.—Л., 1948, 221 с.
- Статистические сведения об уловах СССР в Северо-Восточной Атлантике за 1964—1974 гг. М., ЦНИИТЭИРХ, 1965—1974 гг., с.
- Трешев А. И. Научные основы селективного рыболовства. Изд-во «Пищевая промышленность», 1974, 446 с.
- Annales Biologiques, Vols: 21—25, 27, 28, 31; 1966, 1970, 1972, 1973, 1976.
- Clyden, A. D. Simulation of the changes in abundance of the cod (*Gadus morhua* L.) and the distribution of fishing in the North Atlantic. Fish. Invest. Ser. 11, vol. 27, No. 1, London, 1972, 58 pp.
- Cushing, D. H. The Arctic cod. A study of research into the British trawl fishery. Pergamon Press Ltd., 1966, 93 pp.
- Cooperative Research Report (ICES), 1974, No. 37, 111 pp.
- Garrad, D. J. Population dynamics of the Arcto—Norwegian cod. J. Fish. Res. Bd. Canada, 24 (1), 1967, pp. 145—190.
- Gulland, J. A. Manual of methods for fish stock assessment Part I. Fish population analysis, FAO, 1969, 154 pp.
- Hylen, A. and Rorvik, C. J. Assessments of the Arcto—Norwegian cod stock. (ICES) Demersal Fish (N) Committee, C. M. 1975/F : 34.
- Hohendorf, K. Eine Diskussion der Bertalanffy—Funktionen und ihre Anwendung zur Charakterisierung des Wachstums von Fischen. Kieler Meeresforsch. 1966, vol. 22 (1), pp. 70—97.
- Yearbook of Fishing Statistics, Vol. 38, FAO, 1976.

16. Lefrank, G. La morhua de la mer de Barents. (ICES) C. M. 1975/F:13.
17. Report of the Ad Hoc meeting on the provision of advice on the biological basis for fisheries management. ICES C. M. 1976/Gen:3, 16 pp.

Determination of some population parameters and possible catches of cod from the South Barents Sea

Babayan V. K.

SUMMARY

The Soviet fishery is based on the feeding cod from the Lofoten-Barents Sea population, and 40% of the catches are taken from ICES Subarea 1. The quantitative analysis of cod in Subarea 1 is made on the basis of biological statistics collected in the period of 1957-1974 and catch statistics reviewed for 11 years (through 1974). The coefficients of the total mortality and natural mortality are ascertained to be equal to 0.98 and 0.21, respectively, at the present fishing intensity. The condition factor is $a=917 \cdot 10^{-5}$ g/cm³. The recruitment size to the part of the population involved is estimated to be $R=423 \cdot 10^6$ specimens. The mean biomass of cod in Subarea 1 is $508 \cdot 10^3$ tons. According to the model the theoretical maximum catch would be achieved if the present fishing intensity could be four times lower.